

斜面上のクノイド波の解析的表示

岐阜大学 正会員 安田孝志
 岐阜大学 学生員 鶴飼亮行

1. 緒言 斜面上の孤立波に関しては、近似解の誘導が比較的容易ということもあって、その変形特性はかなり明らかにされているが、クノイド波の場合の解明は余り進んでおらず、孤立波に見られるshelfの生成の有無さえ明らかではない。本研究では、Yajimaの手法を角谷の式に適用して斜面上のクノイド波の近似解を導き、浅水化に伴うクノイド波の変形特性を明らかにしたい。

2. 斜面上のクノイド波の近似解 斜面上のK-dV方程式である角谷の式は次式で与えられる。

$$\eta_x + \frac{3}{2C_0^3} \eta^2 \eta_\xi + \frac{C_0}{6} \eta_{\xi\xi\xi} - \frac{B\tau^*}{4C_0^2} \eta = 0 \tag{1}$$

ここに、 $\xi = \varepsilon^{1/2} \left\{ \int_0^{x^*} dx' / c_0 - t^* \right\}$, $x = \varepsilon^{3/2} x^*$, $c_0 = \sqrt{h^*}$, $h^* = 1 - B^*$,
 $x^* = x/h_1$, $h^* = h/h_1$, $B^* = B/h_1$, $t^* = t\sqrt{g/h}$, $\varepsilon = (h_1/L_1)^2$,
 $\eta_1 = \eta/\varepsilon h_1$ \tag{2}

であり、 z' は平均水面周りの水面変動、 x は水平座標、 t は時間、 h は水深、 h_1 は原点での水深、 B は x 軸から水底までの高さ($B = h_1 - \bar{h}$)。および L_1 は原点でのクノイド波の波長である。ここで、次式の変換

$$\eta = (2/3) C_0^4 u, \quad s = (1/6) \int_0^x c_0 dx, \quad \nu = 9 B s^* / 4 C_0^2, \tag{3}$$

$$u = 2 \partial_\xi^2 \log F$$

を式(1)に適用すれば、式(1)は次式の双1次形式に書き換えられる。

$$[D_s D_\xi + D_\xi^4 + \lambda(s)] FF = \nu \partial_\xi (FF) \tag{4}$$

ここに、 D は次式で定義されるD-演算子である。

$$D_\xi^n FF = [(\partial_\xi - \partial_{\xi'})^n F(\xi) F(\xi')]_{\xi=\xi'} \tag{5}$$

式(4)において $\nu = 0$ とすれば、その特解は第3種theta関数 ϑ_3 によって次式のように表される。

$$F = \vartheta_3(\varphi_0 | T_0) = \sum_{m=-\infty}^{\infty} \exp(2\pi i m \varphi_0 + \pi i m^2 T_0) \tag{6}$$

ここに、 $\varphi_0 = \varphi_0(\xi - \nabla_0 s)$, $T_0 = i k'/k_0$, $\nabla_0 = (4\varphi_0 k_0)^2 (2 - k'^2 - 3E_0/k_0)$ であり、 k は楕円積分の母数、 K および E は第1種および第2種完全楕円積分、 k' は補母数 $k' = \sqrt{1 - k^2}$ に対する第1種完全楕円積分、および添字の 0 は $\nu = 0$ となる一様水深の場合の解であることを示す。式(6)を基にして式(4)を満足するせつ動解を次式のように仮定する。

$$F = \vartheta_3(\varphi | T)(1 + G)$$

$$\dot{\varphi} = \varphi(s) \left[\xi - \int \nabla(s) ds \right] + \psi(\xi, s) \tag{7}$$

$$G = G(\xi, s), \quad T = i k'(s)/k(s)$$

ここで、 G , ψ , $d\varphi/ds$, $d\nabla/ds$ および dT/ds は ν と同程度の微小量としてせつ動近似によって式(4)を解くと、次式が得られる。

$$u = 2g^2 \left\{ (1 + 2\psi\varphi)(2k'k)^2 [cn^2(2k\varphi - k) - J] \right. \\ \left. + \Sigma(2k\varphi - k) + 2H(\varphi, s) - 4 \int_0^s \frac{\lambda d}{g} ds \right\} \tag{8}$$

ここに、 $J = (1/r^2)(E/k + r^2 - 1)$, $\psi = -\alpha \varphi^2/2$
 $\alpha = -(3/4) \bar{h}_s^* / g \nabla \bar{h}^*$, $\nabla = 16 g^2 k^2 [2 - r^2 - 3(E/k)]$, (9)
 $\lambda = 32 g^4 k^4 [2 - r^2 - r^4 - 8(E/k) + 4 r^2 (E/k) + 6 (E/k)^2]$ であり、

CN は Jacobi の cn 関数、 Σ は Jacobi の Zeta 関数、および $H(\varphi, \psi)$ は次式を満足する 1 種の Airy 波を表す。
 $H_s - g \nabla H \varphi + g^3 \{ H_{\varphi\varphi\varphi} + 12 [G \partial_{\varphi}^2 \log \psi]_{\varphi} \}$
 $= (\alpha s/2) [\varphi^2 (\log \psi)_{\varphi}]_{\varphi\varphi}$ (10)

式(10)の右辺第1項は浅水効果を受けたクノイド波、第2項は斜面上の孤立波の場合に生じる plateau に相当した成分、第3項は同じく tail に相当した成分、および第4項は set-down を表すものと考えられる。これから、孤立波の場合に生じた plateau および tail がクノイド波の場合にも同様に生じ、加えて set-down も発生することが明らかになっている。

3. 斜面上におけるクノイド波の変形 ここでは、式(10)に示した第1 および第2項に着目して波形変化について検討する。式(10)を基に原点での水深で無次元化した波形 Z'/h_1 の表示を導けば、次式ようになる。

$Z'/h_1 = (A/A_1) \{ (cn^2 \theta - J) - [\beta / (2 r k)^2] \Sigma(\theta) \}$ (11)

ここに、 $\beta = 9 T_0^{*3} \tan \theta / 32 \bar{h}^{*3/2} k^2 (2 - r^2 - 3E/k)$, $\theta = [\sqrt{3A}/2 \bar{h}^* r] t^*$ (12)

$A/A_1 = \bar{h}^{*-1/4} (r_0/r)^2 \{ [-e_0 (3e_0 + 2r_0^2 - 4) + r_0^2 - 1] / [-e (3e + 2r^2 - 4) + r^2 - 1] \}^{1/2}$, $e = E/k$ (13)

であり、母数 r は次式より r^* の変化に応じて定まることになる。

$1 = \bar{h}^{*9/4} (k_0/k)^2 \{ -e_0 (3e_0 + 2r_0^2 - 4) + r_0^2 - 1 \} / [-e (3e + 2r^2 - 4) + r^2 - 1] \}^{1/2}$ (14)

図-1は、式(13)における振幅の浅水変化を \bar{h}^{-1} および $\bar{h}^{-1/4}$ 則と比較したものであり、両者の中間的性格を持つことがわかる。また、図-2は、浅水化の過程における波形変化を式(11)によって示したものである。

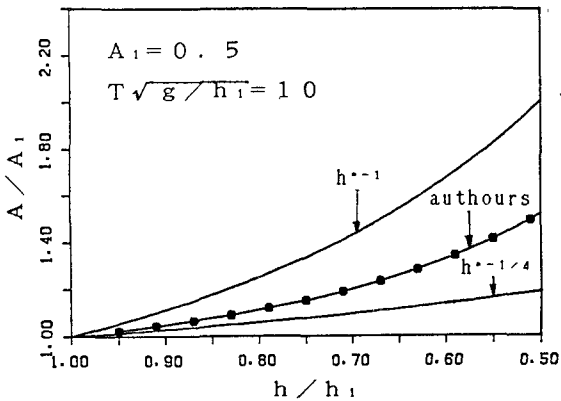


図-1 クノイド波の振幅の浅水変化

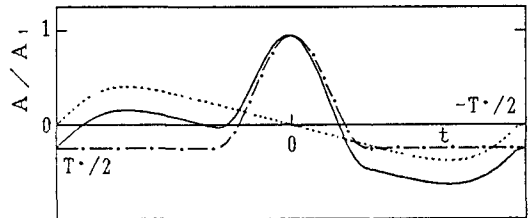


図-2 斜面上のクノイド波の波形
 $A_1=0.5$, $T\sqrt{g/h_1}$, slope=1/100, $h^*=0.6$
 — 合成波形
 - - 式(11)の第1項による波形
 ···· 式(11)の第2項による波形

4. 結 語 斜面上の K-dV 方程式の解析的近似解を示し、孤立波と同様、クノイド波も斜面上で plateau および tail を励起することを明らかにすると同時に、その変化特性の一端を理論的に解明した。

5. 参考文献

1) Yajima, N. : Application of Hirota's method to a perturbed system, Jour. Phys. Soc. Japan, Vol. 51, No. 4, pp. 1298-1302, 1982.